

**В.Ф. БОЛЮХ**, д.т.н., проф., НТУ "ХПИ"

**ОМАР БЕНАЙССА**, к.т.н., доц., Universite M'hamed Bougara  
de Boumerdes, Бумердес, Алжир

**С.В. ОЛЕКСЕНКО**, аспирант, НТУ "ХПИ"

**ОПТИМИЗАЦИОННЫЙ ПОДХОД К ВЫБОРУ  
ПАРАМЕТРОВ ФЕРРОМАГНИТНОГО СЕРДЕЧНИКА  
ИНДУКЦИОННО-ДИНАМИЧЕСКОГО УСТРОЙСТВА**

Предложен метод выбора геометрических параметров ферромагнитного сердечника индукционно-динамического устройства, основанный на введении комплексного критерия эффективности и оптимизационном подходе, при котором учитываются электродинамические показатели, массогабаритные параметры и магнитные поля рассеяния. Установлены оптимальные геометрические параметры ферромагнитного сердечника.

**Ключевые слова:** геометрические параметры, ферромагнитный сердечник, индукционно-динамическое устройство.

Запропоновано метод вибору геометрических параметрів феромагнітного осердя індукційно-динамічного пристрою, заснованому на введені комплексного критерію ефективності та оптимізаційному підході, при якому враховуються електродинамічні показники, масогабаритні параметри та магнітні поля розсіювання. Визначені оптимальні геометричні параметри феромагнітного осердя.

**Ключові слова:** геометричні параметри, феромагнітний сердечник, індукційно-динамічний пристрій.

A method of choosing the geometric parameters of the ferromagnetic core of an induction-dynamic device, based on the introduction of systematic criteria and optimization-dimensional approach, which takes into account electromagnetic indicators, weight and dimension parameters and magnetic stray field is proposed. The optimum geometrical parameters of the ferromagnetic core have been found.

**Key words:** geometrical parameters, the ferromagnetic core, induction-dynamic device.

**Введение.** Индукционно-динамические устройства (ИДУ) широко используются в промышленных и научно-технических системах, где необходимы ударные механические нагрузки, при относительно незначительных перемещениях исполнительного ударного элемента. Возбуждаемый от емкостного накопителя энергии индуктор ИДУ

в электропроводящем массивном якоре индуцирует ток, обуславливающий возникновение электродинамических усилий (ЭДУ), передаваемых от якоря на исполнительный ударный элемент. Применение ферромагнитного сердечника (ФС) позволяет увеличить силовые показатели и уменьшить поля рассеяния ИДУ. Однако при этом ухудшаются массогабаритные показатели устройства. Поэтому задача выбора параметров ФС требует комплексного рассмотрения с учетом различных разнородных факторов ИДУ.

**Анализ литературы.** ИДУ используются во многих отраслях промышленности, науки и техники для механической обработки поверхностей, деформации объектов, проведения вибрационных и ударных испытаний и т.д. [1-4]. Однако традиционные ИДУ в основном функционируют без ФС, что обусловлено ограничениями по массо-габаритным показателям и импульсным характером электромагнитных процессов. Известны различные подходы, направленные на повышение удельных силовых показателей ИДУ, например, использование криогенного охлаждения, применение якоря специальной конфигурации, использование многосекционного индуктора с последовательной коммутацией секций, применение подвижного индуктора, взаимодействующего с двумя охватывающими якорями и др., которые требуют существенного усложнения конструкции и условий работы [5, 6]. При этом вопрос о применении относительно простого и недорогого ФС в рассматриваемых ударных устройствах с обоснованием его основных параметров практически не исследован.

**Целью работы** является разработка методики и определение оптимальных геометрических параметров ФС при ограничении массово-габаритных показателей и обеспечении максимальных силовых параметров при минимальных полях рассеяния ИДУ.

**Математическая модель ИДУ.** Для расчета рабочего цикла ИДУ при фиксированных параметрах ФС было проведено компьютерное моделирование в программном пакете *COMSOL Multiphysics 4.3*, основанное на дифференциальных уравнениях в частных производных, в основу которого заложен метод конечных элементов.

С использованием условия Дирихле на границах расчетной области в цилиндрической системе координат рассчитывается векторный магнитный потенциал  $A$

$$\frac{\partial}{\partial r} \left( \frac{1}{r\mu(B)} \frac{\partial(rA)}{\partial r} \right) + \frac{\partial}{\partial z} \left( \frac{1}{\mu(B)} \frac{\partial A}{\partial z} \right) - \gamma \frac{\partial A}{\partial t} = 0, \quad (1)$$

где  $\mu(B)$  – магнитная проницаемость материала ФС,  $\gamma$  – электропроводность материала активных элементов ИДУ.

Составляющие вектора магнитной индукции находятся по известным соотношениям:

$$B_z = \frac{1}{r} \frac{d(rA)}{dr}; \quad B_r = - \frac{dA}{dz}. \quad (2)$$

Локальная плотность тока в каждом конечном элементе якоря определяется по известному выражению

$$j = -\gamma \frac{\partial A}{\partial t}. \quad (3)$$

Сила, действующая на якорь, рассчитывается по формуле:

$$f_z = 0,5 \oint (H(B \cdot n) + B(H \cdot n) - n(H \cdot B)) dS, \quad (4)$$

где  $S$  – поверхность, ограничивающая якорь в пространстве  $\{r, z\}$ .

Для ферромагнитного материала сердечника используется нелинейная кривая намагничивания  $B=f(H)$ .

Импульс ЭДУ, действующий на якорь, определяется выражением:

$$F_z = \int_0^t f_z dt. \quad (5)$$

При расчете переходных электромагнитных, электродинамических и тепловых процессов ИДУ предполагается отсутствие механических перемещений и деформации элементов. При этом рассчитывается пространственное распределение индуцированного тока в якоре на каждом временном шаге.

**Геометрические параметры ИДУ.** Основные параметры базового варианта ИДУ без ФС представлены в табл. 1.

Таблица 1 – Основные параметры базового варианта ИДУ без ФС.

Показатель	Обозначение	Величина
Внешний диаметр индуктора	$D_{ex1}$	100 мм
Внутренний диаметр индуктора	$D_{in1}$	10 мм
Высота индуктора	$H_1$	10 мм
Внешний диаметр якоря	$D_{ex2}$	100 мм
Внутренний диаметр якоря	$D_{in2}$	10 мм
Высота якоря	$H_2$	3 мм
Расстояние между индуктором и якорем	$\delta$	1 мм
Количество витков индуктора	$N_1$	46 шт
Сечение шины индуктора	$a \times b$	$1 \times 4,8 \text{ мм}^2$
Емкость ЕНЭ	$C$	2850 мкФ
Зарядное напряжение ЕНЭ	$U_0$	400 В

Коаксиальный ФС 3 можно представить состоящим из дискового основания 3а, охватывающего индуктор 1 снизу, наружной обечайки 3б и внутреннего цилиндра 3с (рис. 1). Якорь 2 взаимодействует с немагнитными диском и бойком 4, выполненными, например, из нержавеющей стали.

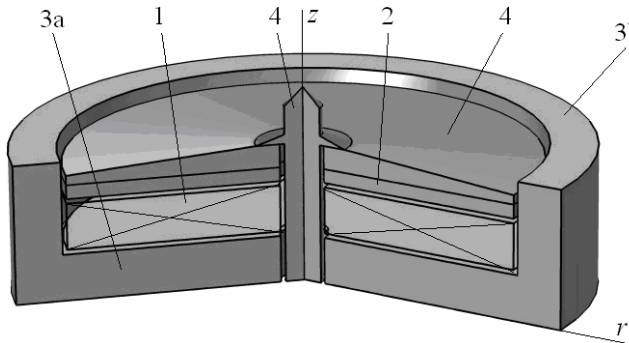


Рис. 1 – Общий вид ИДУ с ФС.

На рис. 2 показано поперечное сечение рассматриваемого ИДУ с указанием геометрических параметров ФС и распределением магнитного поля в момент максимума ЭДУ.

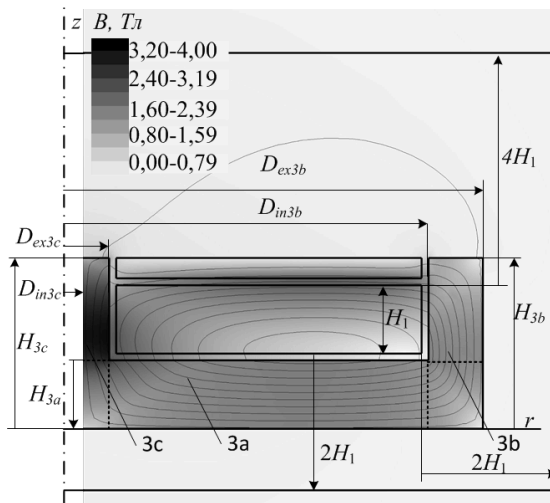


Рис. 2 – Сечение ИДУ с указанием геометрических параметров ФС.

На расстоянии  $2H_1$  от нижней и боковой и на расстоянии  $4H_1$  от верхней стенок индуктора жирной линией очерчена область, на которой определяется усредненное значение полей рассеяния ИДУ.

ФС, представляемый совокупностью  $i$ -ых цилиндрических участков, где  $i=\{a, b, c\}$ , описывается внешним диаметром  $D_{ex3i}$ , внутренним диаметром  $D_{in3i}$  и высотой  $H_{3i}$  каждого участка. Расстояние между смежно расположенными сторонами индуктора и ФС заполнено изоляцией толщиной  $\delta=1\text{мм}$ . Геометрические параметры ФС опишем следующими безразмерными параметрами:

$$\chi = \frac{H_{3a}}{H_1}; \quad \varepsilon = \frac{H_{3b}}{H_1}; \quad \psi = \frac{D_{in3c}}{D_{in1}}; \quad \theta = \frac{D_{ex3b}}{D_{ex1}}. \quad (6)$$

Рассмотрим шихтованный ФС, выполненный из стали Ст. 10 (AISI 1010, UNS G10100), при отсутствии в нем вихревых токов.

Введем относительные параметры и показатели ИДУ:

$$F_{zm}^* = \frac{F_{zmi}}{F_{zmo}} - 1; \quad m_3^* = \frac{m_0}{m_i} - 1; \quad j_{1m}^* = \frac{j_{1mi}}{j_{1m0}} - 1; \quad (7)$$

$$B^* = \frac{B_0}{B_i} - 1; \quad G_H^* = \frac{H_{3mi}}{H_1} - 1; \quad G_D^* = \frac{D_{ex3bi}}{D_{ex2}} - 1,$$

где  $F_{zmo}$ ,  $m_0$ ,  $j_{1m0}$ ,  $B_0$  – соответственно максимальное значение импульса ЭДУ, масса ИДУ, максимальное значение плотности тока в индукторе и среднее значение индукции магнитного поля рассеяния базового ИДУ;  $F_{zmi}$ ,  $m_i$ ,  $j_{1mi}$ ,  $B_i$  – соответственно максимальное значение импульса ЭДУ, масса ИДУ, максимальное значение плотности тока в индукторе, среднее значение индукции магнитного поля рассеяния  $i$ -й конфигурации ИДУ с ФС;  $H_{3m}=\max\{H_{3b}, H_{3c}, (H_1+\delta+H_2)\}$  – максимальные аксиальные габариты ИДУ.

Полученные при изменении геометрических параметров ФС силовые ( $F_{zm}^*$ ), массо-габаритные ( $m_3^*$ ,  $G_H^*$ ,  $G_D^*$ ), экологические ( $B^*$ ) и токовые ( $j_{1m}^*$ ) параметры приведены к базовому варианту и представлены на рис. 3 в виде функциональных зависимостей от соответствующего безразмерного геометрического параметра.

Для оценки эффективности ФС с учетом разнородных показателей используем оптимизационный подход [7].

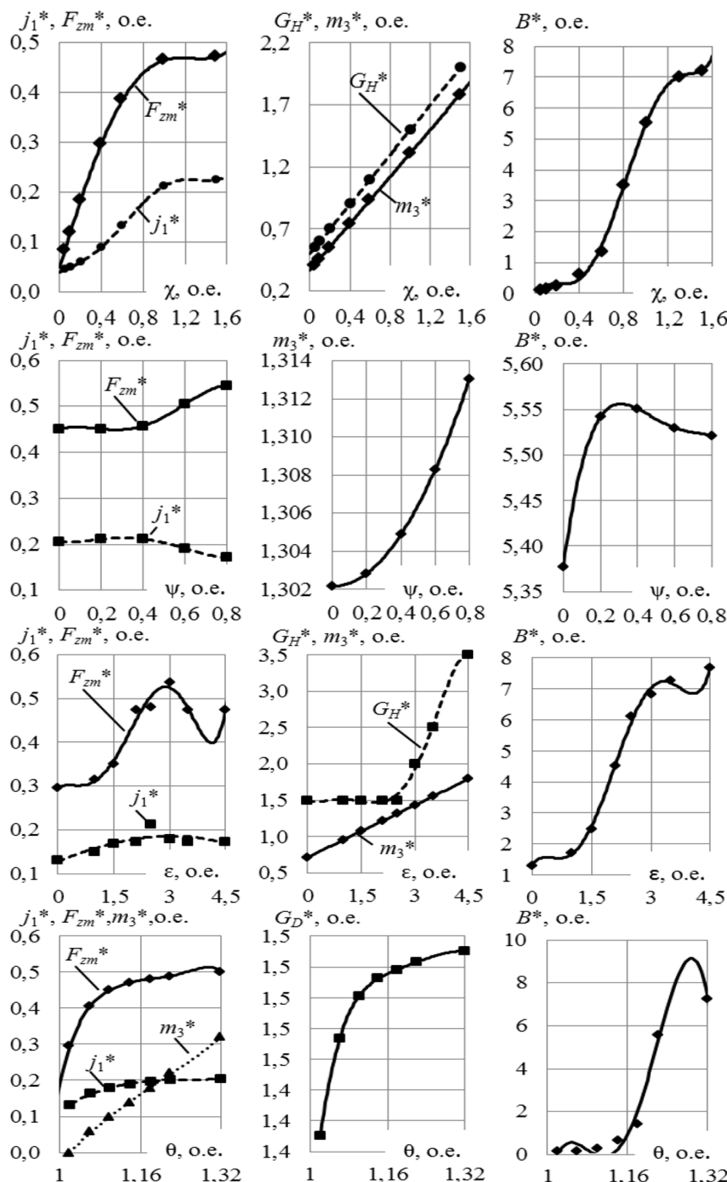


Рис. 3 – Зависимость относительных показателей ИДУ от геометрических параметров ФС.

**Критерии эффективности ФС ИДУ.** Для анализа введем комплексный критерий эффективности ФС ИДУ

$$\eta^* = 0,25 \sum_{j=1}^4 \sum_{i=1}^6 \beta_i K_{ji} \quad (8)$$

где  $K_{ji}$  –  $i$ -ый частичный критерий эффективности при  $j$ -м вариационном безразмерном параметре  $\psi, \theta, \chi, \varepsilon$ ;  $K_{j1}$  – критерий импульса ЭДУ  $F_{zm}^*$ ;  $K_{j2}$  – критерий массы ИДУ  $m_3^*$ ;  $K_{j3}$  – критерий максимальной плотности тока в индукторе  $j_{1m}^*$ ;  $K_{j4}$  – критерий магнитного поля рассечения;  $K_{j5,6}$  – критерии аксиальных и радиальных габаритов ИДУ  $G_H^*$ ,  $G_D^*$ ;  $\beta_i$  – весовые коэффициенты частичных критериев, удовлетворяющие соотношению

$$\sum_{i=1}^5 \beta_i = 1. \quad (9)$$

Каждый из частичных критериев описывается полиномной функцией  $n$ -го порядка от соответствующего геометрического параметра ФС:

$$\begin{aligned} K_{1,1} &= FI^*_{\chi} = 0,3507\chi^4 - 0,8763\chi^3 - 0,0417\chi^2 + 1,4465\chi + 0,1085; \\ K_{1,2} &= m^*_{\chi} = 0,5292\chi + 0,2043; \\ K_{1,3} &= j^*_{\chi} = 1,0972\chi^3 - 3,7555\chi^4 + 3,6807\chi^3 - 0,7191\chi^2 + 0,4628\chi + 0,1818; \\ K_{1,4} &= B^*_{\chi} = 3,5687\chi^5 - 13,718\chi^4 + 17,692\chi^3 - 8,2867\chi^2 + 1,558\chi - 0,0563; \\ K_{1,5} &= G_H^*_{\chi} = 0,5\chi + 0,25; \\ K_{1,6} &= G_D^*_{\chi} = \text{const}; \\ K_{2,1} &= FI^*_{\psi} = -3,7517\psi^4 + 5,7696\psi^3 - 2,2684\psi^2 + 0,2583\psi + 0,8184; \\ K_{2,2} &= m^*_{\psi} = 0,013\psi^2 + 0,994; \\ K_{2,3} &= j^*_{\psi} = 5,6081\psi^4 - 8,66\psi^3 + 3,2755\psi^2 - 0,1968\psi + 1,198; \\ K_{2,4} &= B^*_{\psi} = -0,397\psi^4 + 0,95\psi^3 - 0,8097\psi^2 + 0,2755\psi + 0,9689; \\ K_{2,5} &= G_H^*_{\psi} = \text{const}; \\ K_{2,6} &= G_D^*_{\psi} = \text{const}; \\ K_{3,1} &= FI^*_{\varepsilon} = -0,0206 \varepsilon^3 + 0,1122 \varepsilon^2 - 0,0171 \varepsilon + 0,5252; \\ K_{3,2} &= m^*_{\varepsilon} = 0,133 \varepsilon + 0,3969; \\ K_{3,3} &= j^*_{\varepsilon} = 0,0152 \varepsilon^4 - 0,1393 \varepsilon^3 + 0,3658 \varepsilon^2 - 0,1737 \varepsilon + 0,6012; \\ K_{3,4} &= B^*_{\varepsilon} = 0,0106 \varepsilon^5 - 0,1086 \varepsilon^4 + 0,3397 \varepsilon^3 - 0,269 \varepsilon^2 + 0,0682 \varepsilon + 0,1697; \\ K_{3,5} &= G_H^*_{\varepsilon} = -0,0061 \varepsilon^5 + 0,058 \varepsilon^4 - 0,1673 \varepsilon^3 + 0,1801 \varepsilon^2 - 0,0611 \varepsilon + 0,4283; \\ K_{3,6} &= G_D^*_{\varepsilon} = \text{const}; \\ K_{4,1} &= FI^*_{\theta} = 52,203\theta^3 - 190,58\theta^2 + 231,73\theta - 92,888; \\ K_{4,2} &= m^*_{\theta} = -56,306\theta^4 + 271,64\theta^3 - 491,08\theta^2 + 394,37\theta - 117,74; \\ K_{4,3} &= j^*_{\theta} = 24,511\theta^3 - 91,908\theta^2 + 115,02\theta - 47,055; \\ K_{4,4} &= B^*_{\theta} = 7466,8\theta^5 - 44799\theta^4 + 107106\theta^3 - 127539\theta^2 + 75642\theta - 17877; \\ K_{4,5} &= G_H^*_{\theta} = \text{const}; \end{aligned} \quad (10)$$

$$K_{4,6} = G_D^* = -1,3862\theta^2 + 6,4939\theta - 5,1623.$$

**Алгоритм поиска оптимальных параметров ФС.** Для решения поставленной задачи используем симплекс-метод с ограничениями:

$$A_1x_1 + A_2x_2 + A_3x_3 + A_4x_4 + A_5x_5 + A_6x_6 = A_0. \quad (11)$$

где  $A_1, \dots, A_6$  – множество линейно независимых векторов (совокупность геометрических параметров ФС).

Тогда уравнение:

$$A_1x_1^* + A_2x_2^* + A_3x_3^* + A_4x_4^* + A_5x_5^* + A_6x_6^* = A_0. \quad (12)$$

определяет базисное решение  $x_1^*, \dots, x_6^*$ .

Если решение допустимо, т.е.  $x_1^* \geq 0, \dots, x_6^* \geq 0$ , то базис  $\{A_1, \dots, A_6\}$  образует 6-мерное пространство, в котором каждый из векторов  $A_1, \dots, A_6$  единственным образом выражается через этот базис. Если  $A_r$  не входит в базис, то:

$$A_1x_{1r} + A_2x_{2r} + A_3x_{3r} + A_4x_{4r} + A_5x_{5r} + A_6x_{6r} = A_r. \quad (13)$$

где  $x_{ir}$  – соответствующие коэффициенты ( $i=1, \dots, 6$ ).

Решение уравнения (11) обозначим как  $\{x'_1, x'_2, x'_3, x'_4, x'_5, x'_6\}$ , тогда:

$$A_1x'_1 + A_2x'_2 + A_3x'_3 + A_4x'_4 + A_5x'_5 + A_6x'_6 = A_0. \quad (14)$$

Умножив уравнение (13) на  $x_r$  и вычтя полученное уравнение из уравнения (12), получим:

$$A_1(x'_1 + x_r x_{1r}) + A_2(x'_2 + x_r x_{2r}) + \dots + A_6(x'_6 + x_r x_{6r}) = A_0 - x_r A_0. \quad (15)$$

Находим связь нового решения  $x'_1, \dots, x'_6$  с базисным решением  $x_1^*, \dots, x_6^*$ :

$$x'_1 = x_1^* - x_r, x'_2 = x_2^* - x_r, \dots, x'_3 = x_3^* - x_r, x_r, x_r. \quad (16)$$

Чтобы новое решение оставалось допустимым выбрали значение  $x_r$  таким, чтобы ни одна из величин  $x'_i = x_i^* - x_r$  ( $i=1, \dots, 6$ ) не стала меньше нуля. Максимальное значение переменной  $x_r$  определяется соотношением:

$$x_{r \max} = \min_i \left\{ \frac{x_i^*}{x_{ir}} \right\}. \quad (17)$$

где  $x_{ir} > 0$ .

Чтобы сделать новое решение базисным выводим соответствующий вектор из базиса. Новое решение приобретает вид:

$$x_1^* - x_{r \max} x_{1r}, \dots, x_5^* - x_{r \max} x_{5r}, x_{r \max}. \quad (18)$$

а новый базис –  $\{A_1, \dots, A_5, A_r\}$ . Для перехода от текущего решения к новому, которому отвечает большее значение целевой функции, используется критерий симплекс-разности. Новому допустимому базисному решению:

$$x_1^* - x_r x_{1r}, \dots, x_1^* - x_r x_{1r}, x_r. \quad (19)$$

соответствует следующее значение целевой функции:

$$z_1 = c_1(x_1^* - x_r x_{1r}) + \dots + c_5(x_5^* - x_r x_{5r}) + c_6 x_r = z_0 + x_r(c_6 - c_1 x_{1r} - \dots - c_5 x_{5r}). \quad (20)$$

где  $z_0$  – значение целевой функции для начального допустимого базисного решения;  $c_6 - c_1 x_{1r} - c_2 x_{2r} - \dots - c_5 x_{5r}$  – симплекс-разность для переменной  $x_r$ .

Симплекс-разность вычисляется для каждой переменной, не входящей в базисное решение, и выбирается такая небазисная переменная  $x_r$ , для которой симплекс-разность положительна и максимальна.

Расчетный алгоритм состоит из следующих этапов:

1) находим начальный базис и связанное с ним допустимое базисное решение;

2) вычисляем симплекс-разность для каждой переменной, не входящей в базисное решение;

3) вводим в базис наиболее "выгодную" переменную с максимальной положительной симплекс-разностью; ее значение  $x_{r \max}$  определяют из соотношения (17) для всех  $x_{ir} > 0$ ;

4) выводим из базисного решения переменную  $x_i$ , соответствующую значению:

$$\min_i \left\{ \frac{x_i^*}{x_{ir}} \right\} = \frac{x_j^*}{x_{jr}}. \quad (21)$$

а из базиса – вектор  $A_j$ ;

5) переходим к новой итерации.

Этапы 2-4 повторяют до тех пор, пока симплекс-разности для всех переменных, не входящих в базис, не станут отрицательными, что и будет признаком оптимальности решения.

В табл. 2 в зависимости от весовых коэффициентов частичных показателей эффективности  $\beta$  представлены расчитанные оптимальные геометрические параметры ФС  $\varepsilon$ ,  $\chi$ ,  $\theta$  и  $\psi$  с указанием величины комплексного критерия эффективности ИДУ  $\eta^*$ .

Таблица 2 – Рассчитанные оптимальные геометрические параметры ФС.

№	$\beta_1$	$\beta_2$	$\beta_3$	$\beta_4$	$\beta_{5,6}$	$\varepsilon$	$\chi$	$\theta$	$\psi$	$\eta^*$
1	0,2	0,2	0,2	0,2	0,2	2,80	1,13	1,30	0,38	1,35
2	0,4	0,15	0,15	0,15	0,15	2,83	1,13	1,30	0,79	1,98
3	0,15	0,4	0,15	0,15	0,15	2,61	1,01	1,30	0,36	0,13
4	0,15	0,15	0,4	0,15	0,15	2,73	1,16	1,30	0,32	1,98
5	0,15	0,15	0,15	0,4	0,15	3,03	1,50	1,30	0,36	1,99
6	0,15	0,15	0,15	0,15	0,4	2,67	1,07	1,28	0,38	0,74

На рис. 4 представлены синтезированные с использованием данного оптимизационного подхода конфигурации ФС для вариантов 1 и 6 из табл. 2.

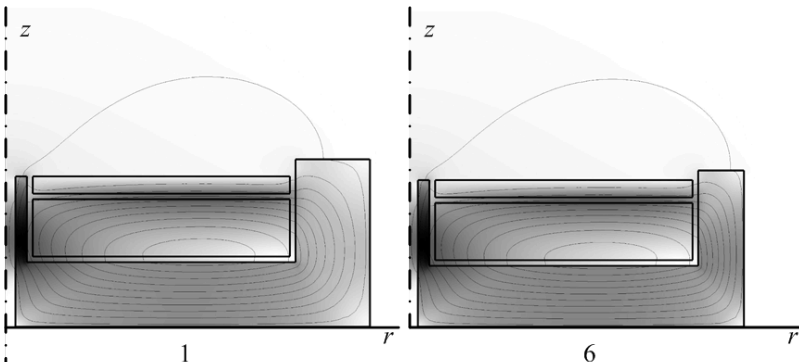


Рис. 4 – Конфигурации ФС для варианта 1 и 6 (см. табл. 2) и распределение магнитных полей ИДУ для этих вариантов.

**Выводы.** Предложен метод выбора геометрических параметров ФС индукционно-динамического устройства, основанный на введении комплексного критерия эффективности и оптимизационном подходе, при котором учитываются электродинамические показатели, массогабаритные параметры и магнитные поля рассеяния. Установлены оптимальные геометрические параметры ФС в зависимости от соотношения весовых коэффициентов частичных критериев эффективности.

**Список литературы:**

1. Эффективность методов прессования корундо-циркониевых порошков различной дисперсности / Анненков Ю.М., Иванов В.В., Иващенко А.С. и др. // Изв. Томского политехн. ун-та. 2005. Т. 308. № 7. – С. 39-42.
2. Разработка эффективных технологических устройств для магнитно-эластоимпульсной вырубки-пробивки тонколистовых материалов / Здор Г.Н., Мамутов А.В., Мамутов В.С. и др. // Металлообработка. – 2001. – №2. – С. 28-32.
3. Ивашин В.В., Иванников Н.А., Кривонос Ю.И. Использования энергии импульсного магнитного поля для привода инструмента штамповочных машин // Прогрессивные технологии обработки материалов: Материалы междунар. науч.-техн. конф., Минск: УНПЦ "Метолит" БГПА, 1998. – С. 61-62.
4. Пат. РФ 2248589, МПК G01V1/02. Устройство для возбуждения сейсмических волн / Чуркин И.М., Сафонов В.Н. Заявка № 2003136117/28 от 11.12.2003. – Опубл. 20.03.2005.
5. Болюк В.Ф., Щукин И.С. Схемно-конструктивные совершенствования ударных электромеханических преобразователей индукционного типа // Електротехніка і електромеханіка. – 2010. – № 5. – С. 5-11.
6. Патент України № 56568. Кріогенний імпульсний електромеханічний пере-

творювач індукційного типу / Болюх В.Ф., Любимова Л.О. № 2002076134; Заявлено 23.07.02; Надрук. 15.05.03, Бюл. № 5. 7. Болюх В.Ф., Назаренко С.А. Системний підхід к мультидисциплінарній оптимізації електромеханіческих преобразувачів ударного діяння // Інтегровані технології та енергозбереження. – 2010. – № 2. – С.28-36.



**Болюх Владимири Федорович**, професор, доктор технических наук. Защитил диплом инженера по специальности "Криогенная техника" в 1979 г., диссертации кандидата и доктора технических наук в Харьковском политехническом институте по специальности электрические машины и аппараты, соответственно в 1987 и 2003 гг. Профессор кафедры "Общая электротехника" Национального технического университета "Харьковский политехнический институт" с 2004 г. Научные интересы связаны с проблемами линейных электромеханических преобразователей импульсного действия, криогенных и сверхпроводящих электромеханических устройств.



**Омар Бенаисса**, к.т.н., доцент факультета научной инженерии UMBB, Бумердес, Алжир. Защитил диплом инженера по специальности электрические машины и аппараты Запорожского машиностроительного института в 1980 г. Диссертацию по специальности электрические машины и аппараты защитил в 1984 г. в Харьковском политехническом институте. Научные интересы связаны с электрическими машинами.



**Олексенко Сергій Владимирович**. Защитил диплом магистра в Национальном техническом университете "Харьковский политехнический институт" в 2011 г. Аспирант кафедры общей электротехники НТУ "ХПІ". Научные интересы связаны с проблемами линейных электромеханических преобразователей импульсного действия.

*Поступила в редколлегию 26.11.2012*